



# CURVAS PARAMÉTRICAS

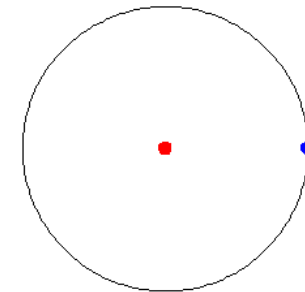
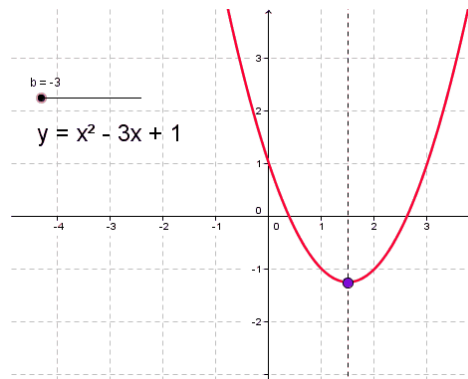




# CURVAS PARAMÉTRICAS. INTRODUCCIÓN

Hasta ahora se han utilizado dos formas de representar curvas en el plano

1. Explícita  $y = f(x)$ . Por ejemplo  $y = ax^2 + bx + c$
2. Implícita  $f(x,y)=0$ . Por ejemplo  $x^2 + y^2 - r^2 = 0$

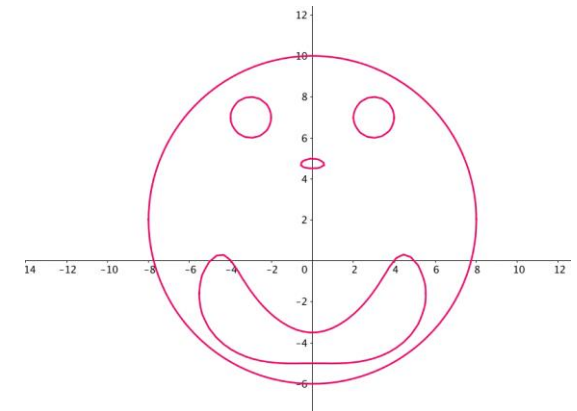
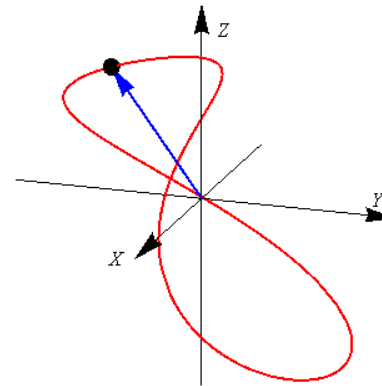
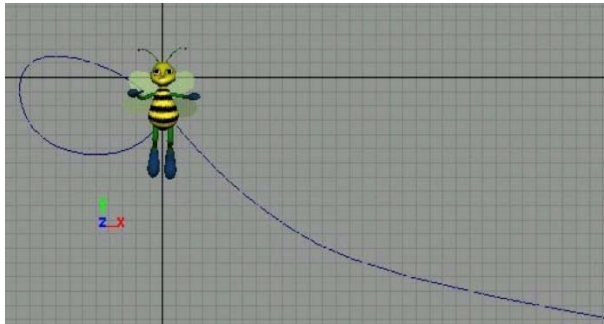


Estos enfoques son útiles si entre las variables hay una relación funcional

# CURVAS PARAMÉTRICAS. INTRODUCCIÓN

Pero ¿cómo se pueden modelar curvas reales?

Por ejemplo curvas que rigen el movimiento de animación



Hay que utilizar un nuevo enfoque



# CURVAS PARAMÉTRICAS. INTRODUCCIÓN

Consiste en expresar la relación entre  $x$  e  $y$  de la forma

$$x = f_1(t); \quad y = f_2(t)$$

donde  $f_1(t)$ ,  $f_2(t)$  expresan relaciones funcionales

Los valores  $x$  e  $y$  se expresan en términos de una variable independiente  $t$  que se denomina parámetro y que generalmente se elige comprendido entre  $0$  y  $1$





# CURVAS PARAMÉTRICAS. INTRODUCCIÓN

Si se tiene una serie finita de puntos  $(x_0, y_0), \dots, (x_n, y_n)$  y se quiere aproximar una función que pase por todos ellos

$$x = f_1(t_i); \quad y = f_2(t_i) \quad i = 0, \dots, n$$

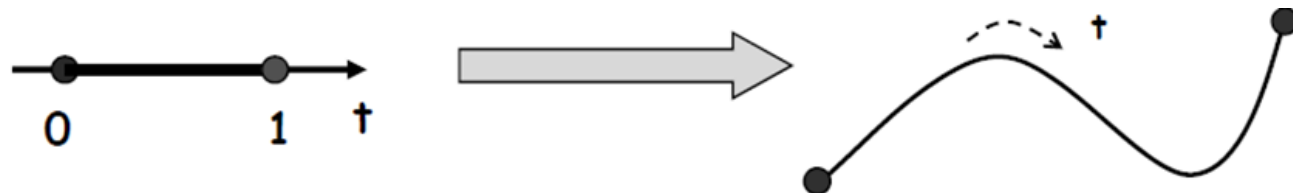
el parámetro  $t$  se *elige* de modo que para  $t_0$  corresponde al primer punto  $(x_0, y_0)$  y para  $t_n$  corresponde a último punto  $(x_n, y_n)$



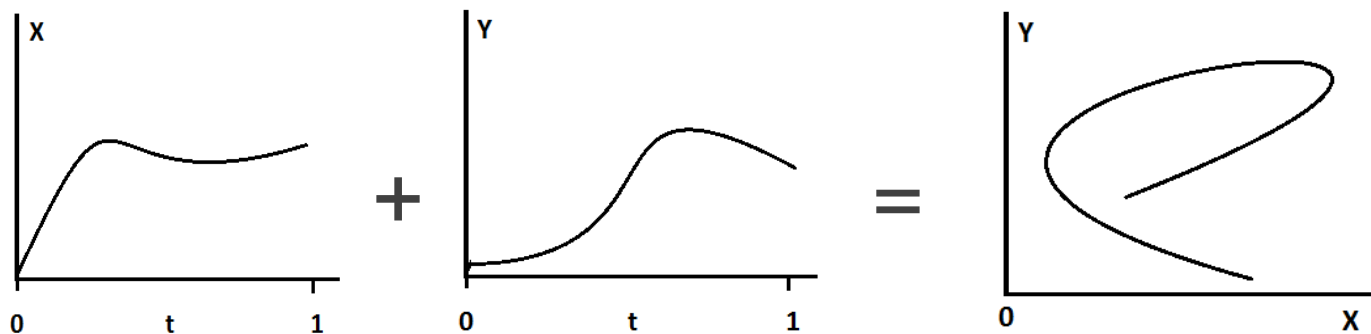
# CURVAS PARAMÉTRICAS. INTRODUCCIÓN

De esta forma se tiene una aplicación  $f(t) \rightarrow (x, y)$

tal que



Se puede ver como dos funciones combinadas





# CURVAS PARAMÉTRICAS. INTRODUCCIÓN

Se suelen utilizar funciones que son polinomios en un parámetro  $t$

Como principales ventajas

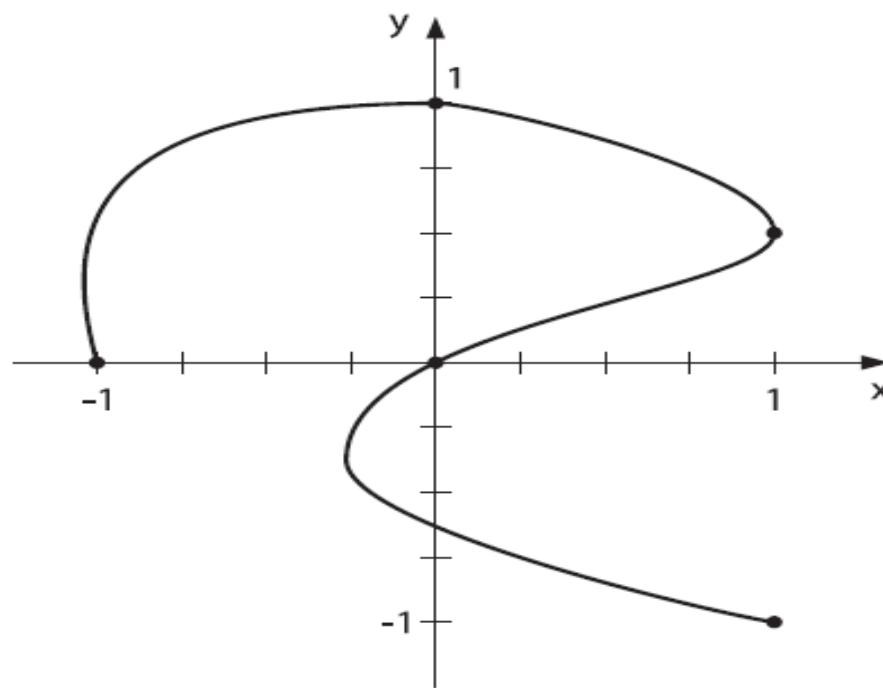
- **Eficiencia en el cómputo**
- Involucra operaciones elementales como sumas y multiplicaciones
- Fáciles de derivar e integrar
- Se puede aproximar cualquier función con tanta precisión como se quiera (Teorema de Aproximación)
- Ofrece control local utilizando funciones definidas a trozos

Se asume que el parámetro  $t$  varía entre  $0$  y  $1$



# CURVAS PARAMÉTRICAS. EJEMPLO

Se desea construir un par de polinomios de Lagrange para aproximar la siguiente curva, usando los puntos de muestreo indicados en la misma

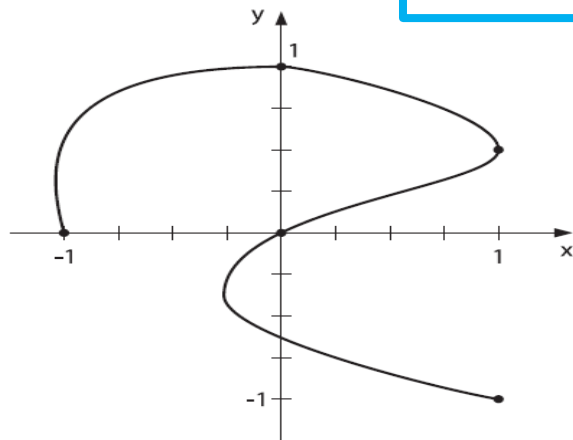




# CURVAS PARAMÉTRICAS. EJEMPLO

Se eligen los puntos  $t_i$  espaciados de forma equidistante en  $[0, 1]$ , obteniendo los siguientes datos

$i$	0	1	2	3	4
$t_i$	0	0.25	0.5	0.75	1
$x_i$	-1	0	1	0	1
$y_i$	0	1	0.5	0	-1



# CURVAS PARAMÉTRICAS. EJEMPLO

Con  $(0, -1)$ ,  $(0.25, 0)$ ,  $(0.5, 1)$ ,  $(0.75, 0)$  y  $(1, 1)$  para  $t$  y  $x$ , se obtiene el polinomio de Lagrange

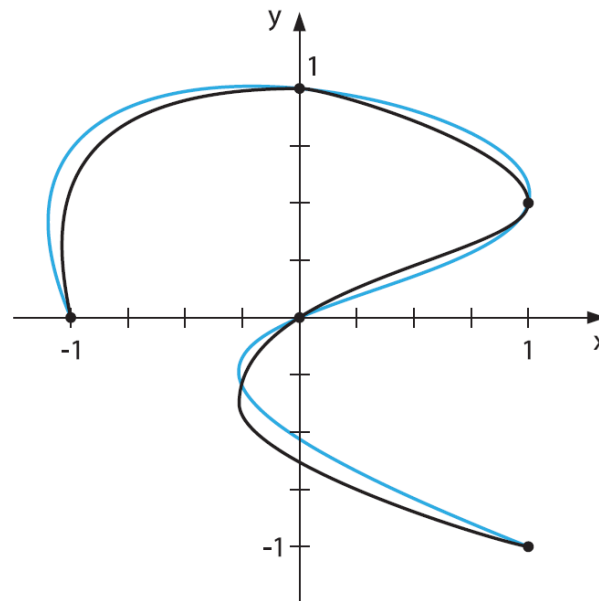
$$x(t) = \left( \left( \left( 64t - \frac{352}{3} \right) t + 60 \right) t - \frac{14}{3} \right) t - 1$$

Con  $(0, 0)$ ,  $(0.25, 1)$ ,  $(0.5, 0.5)$ ,  $(0.75, 0)$  y  $(1, -1)$  para  $t$  e  $y$  se obtiene el polinomio de Lagrange

$$y(t) = \left( \left( \left( -\frac{64}{3}t + 48 \right) t - \frac{116}{3} \right) + 11 \right) t.$$

# CURVAS PARAMÉTRICAS. INTRODUCCIÓN

Representando este sistema paramétrico, se obtiene la curva



A pesar de pasar por los puntos de muestreo, es una aproximación relativamente imprecisa



# OBJETIVO DEL TEMA

## *Objetivo*

Construir curvas de una manera fácil y exacta

*¿Cómo?*

# CURVAS DE BEZIER

Las curvas de Bézier son un sistema que se desarrollo en 1960, para el trazado de dibujos técnicos, en el diseño aeronáutico y de automóviles

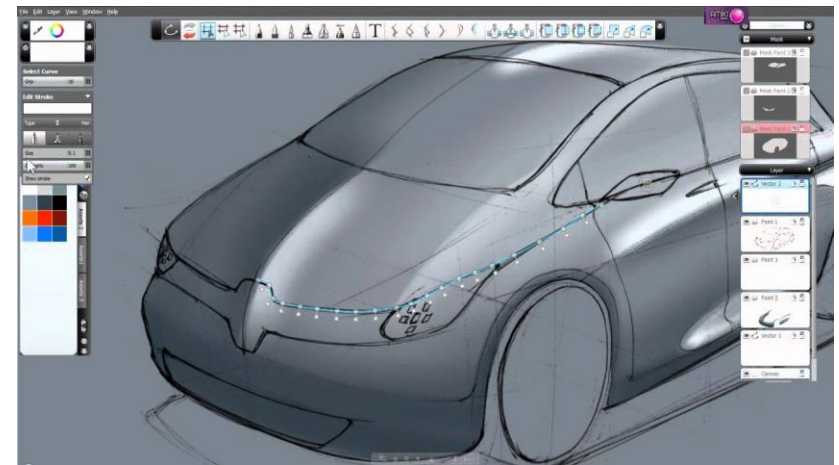
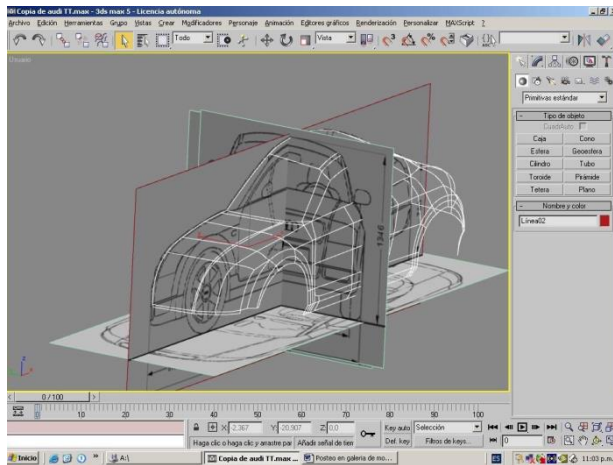
Anteriormente las curvas se tenían que trazar por medio de reglas francesas



# CURVAS DE BEZIER

En 1959, De Casteljaou (Citroën), idea una formulación matemática para diseñar las formas curvas de los coches

Posteriormente (1966), Bézier (Renault) llega a las mismas conclusiones, pero partiendo de otro desarrollo matemático

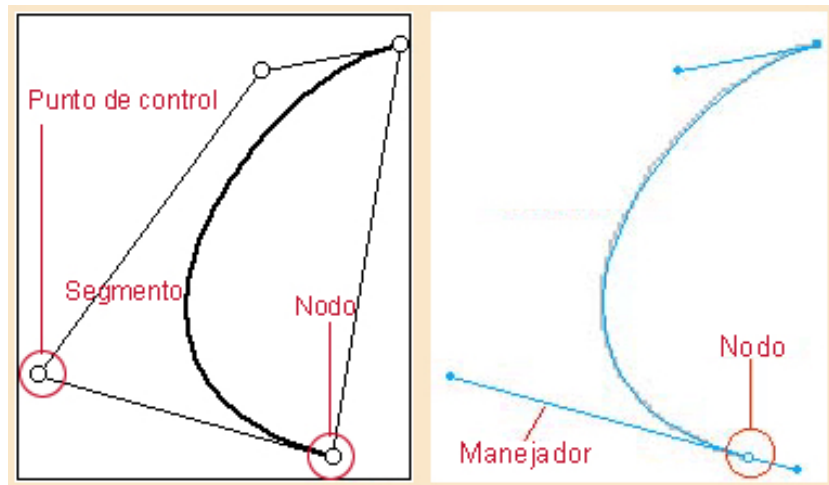


# CURVAS DE BEZIER

Se definen por una serie de **puntos de control**

La curva siempre empieza en el primer punto de control y termina en el último de ellos

Los puntos intermedios “atraen” hacia si a la curva



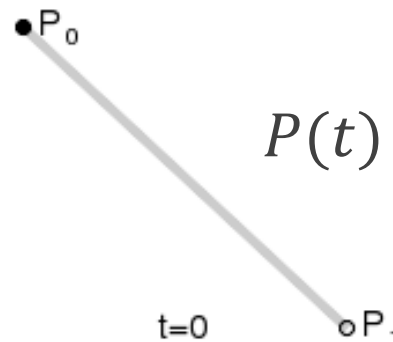
Son curvas paramétricas en las cuales el parámetro  $t$  varía entre 0 y 1

# CURVAS DE BEZIER LINEALES

Con sólo dos puntos de control  $P_0$  y  $P_1$ , las curvas son líneas rectas

La curva (recta) va de  $P_0$  a  $P_1$  y se puede recorrer variando el parámetro  $t \in [0, 1]$

$$P(t) = (1 - t)P_0 + tP_1 \text{ con } t \in [0, 1]$$



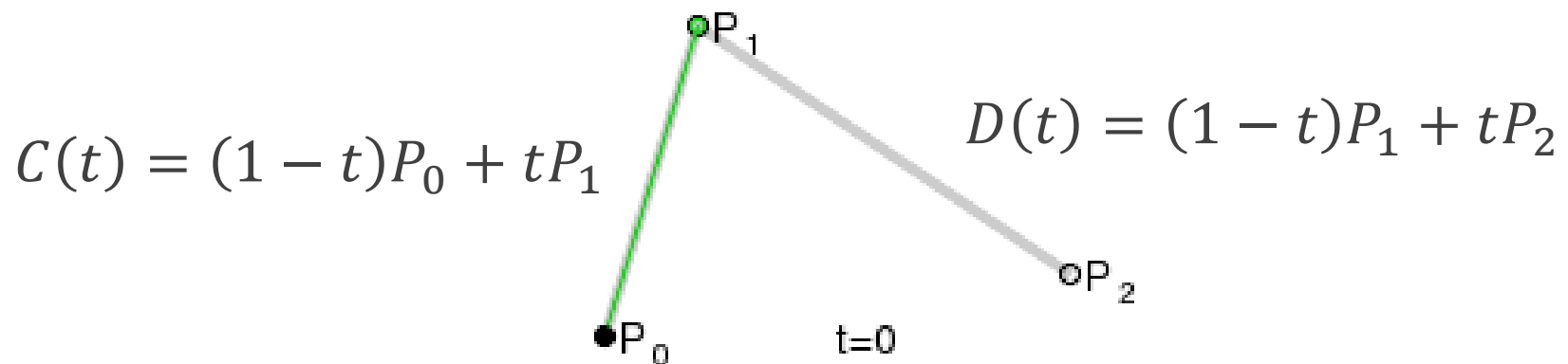


# CURVAS DE BEZIER CUADRÁTICAS

Con tres puntos de control  $P_0$ ,  $P_1$  y  $P_2$  se construyen dos curvas lineales entre  $P_0 \rightarrow P_1$  y  $P_1 \rightarrow P_2$

La tercera curva de Bézier se construye recursivamente de las dos anteriores y da lugar a un polinomio de segundo grado

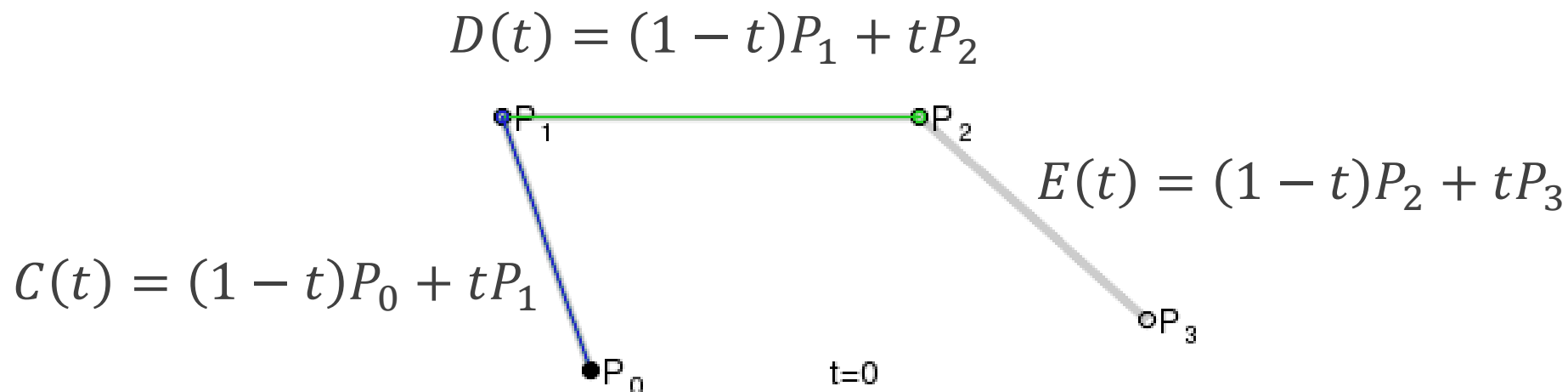
El parámetro  $t$  recorre esta tercera curva de  $P_0$  a  $P_2$  con un “efecto gravitatorio” ejercido por  $P_1$



$$P(t) = (1 - t)C(t) + tD(t) = (1 - t)^2P_0 + 2(1 - t)tP_1 + t^2P_2$$

# CURVAS DE BEZIER CÚBICAS

Con cuatro puntos de control  $P_0$ ,  $P_1$ ,  $P_2$  y  $P_3$  se construyen curvas cúbicas (las más utilizadas)



$$F(t) = (1 - t)C(t) + tD(t)$$

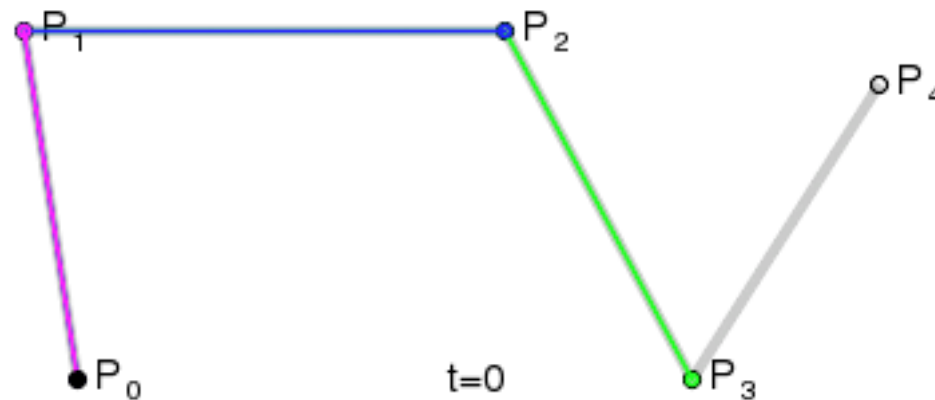
$$G(t) = (1 - t)D(t) + tE(t)$$

$$P(t) = (1 - t)F(t) + tG(t) = P_0 + 3(1 - t)^2 t P_1 + 3(1 - t) t^2 P_2 + t^3$$



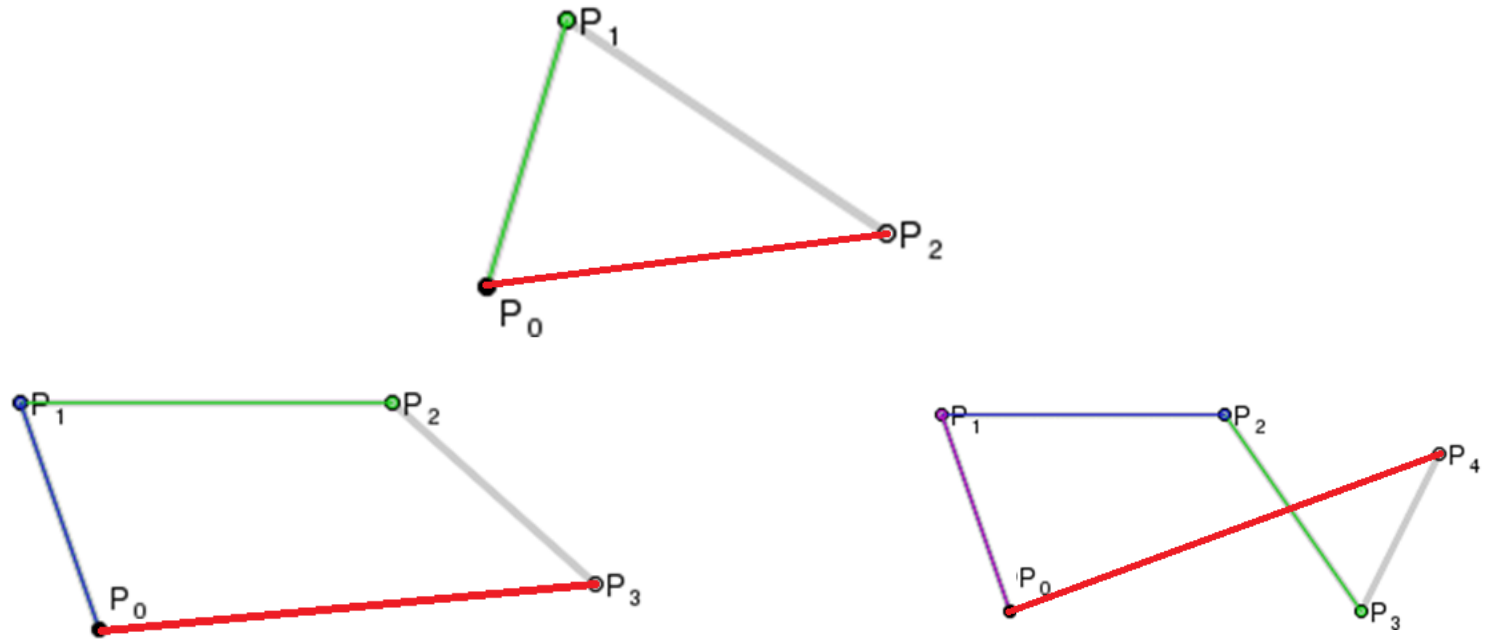
# CURVAS DE BEZIER DE GRADO SUPERIOR

De esta forma se pueden generar curvas de cualquier grado



# POLIGONOS DE BEZIER

Los puntos de control para una curva de Bézier forman lo que se llama Polígono de Bézier





# CURVAS DE BEZIER. FORMALIZACIÓN

Forma explícita. Polinomios de Bernstein

Algoritmo de De Casteljau

Forma matricial. Curvas de Bezier cúbicas





# CURVAS DE BEZIER. POLINOMIOS DE BERNSTEIN

Se parte de la siguiente expresión

$$(t + (1 - t))^n$$

si se desarrolla según el binomio de Newton

$$(t + (1 - t))^n = \sum_{i=0}^n \binom{n}{i} t^i (1 - t)^{n-i} = 1$$

Se denominan polinomios de Bernstein de grado  $n$  a cada uno de los términos de sumatorio

$$B_i^n(t) = \binom{n}{i} t^i (1 - t)^{n-i} \quad \forall i = 0, \dots, n$$





# CURVAS DE BEZIER. POLINOMIOS DE BERNSTEIN. EJEMPLO

$$B_i^n(t) = \binom{n}{i} t^i (1-t)^{n-1}$$

Polinomios de Bernstein de grado 1

$$B_0^1(t) = \binom{1}{0} t^0 (1-t)^{1-0} = \frac{1!}{0!1!} (1-t) = (1-t)$$

$$B_1^1(t) = \binom{1}{1} t^1 (1-t)^{1-1} = \frac{1!}{1!0!} t = t$$





# CURVAS DE BEZIER. POLINOMIOS DE BERNSTEIN. EJEMPLO

$$B_i^n(t) = \binom{n}{i} t^i (1-t)^{n-i}$$

Polinomios de Bernstein de grado 2

$$B_0^2(t) = \binom{2}{0} t^0 (1-t)^{2-0} = \frac{2!}{0!2!} (1-t)^2 = (1-t)^2$$

$$B_1^2(t) = \binom{2}{1} t^1 (1-t)^{2-1} = \frac{2!}{1!1!} t(1-t) = 2t(1-t)$$

$$B_2^2(t) = \binom{2}{2} t^2 (1-t)^{2-2} = \frac{2!}{2!0!} t^2 = t^2$$





# CURVAS DE BEZIER. POLINOMIOS DE BERNSTEIN. EJEMPLO

$$B_i^n(t) = \binom{n}{i} t^i (1-t)^{n-i}$$

Polinomios de Bernstein de grado 3

$$B_0^3(t) = \binom{3}{0} t^0 (1-t)^{3-0} = \frac{3!}{0!3!} (1-t)^3 = (1-t)^3$$

$$B_1^3(t) = \binom{3}{1} t^1 (1-t)^{3-1} = \frac{3!}{1!2!} t(1-t)^2 = 3t(1-t)^2$$

$$B_2^3(t) = \binom{3}{2} t^2 (1-t)^{3-2} = \frac{3!}{2!1!} t^2(1-t) = 3t^2(1-t)$$

$$B_3^3(t) = \binom{3}{3} t^3 (1-t)^{3-3} = \frac{3!}{3!0!} t^3 = t^3$$



# CURVAS DE BEZIER. POLINOMIOS DE BERNSTEIN. PROPIEDADES

La suma de todos los polinomios de Bernstein de un mismo grado para cualquier valor de  $t$  entre 0 y 1 es por definición 1

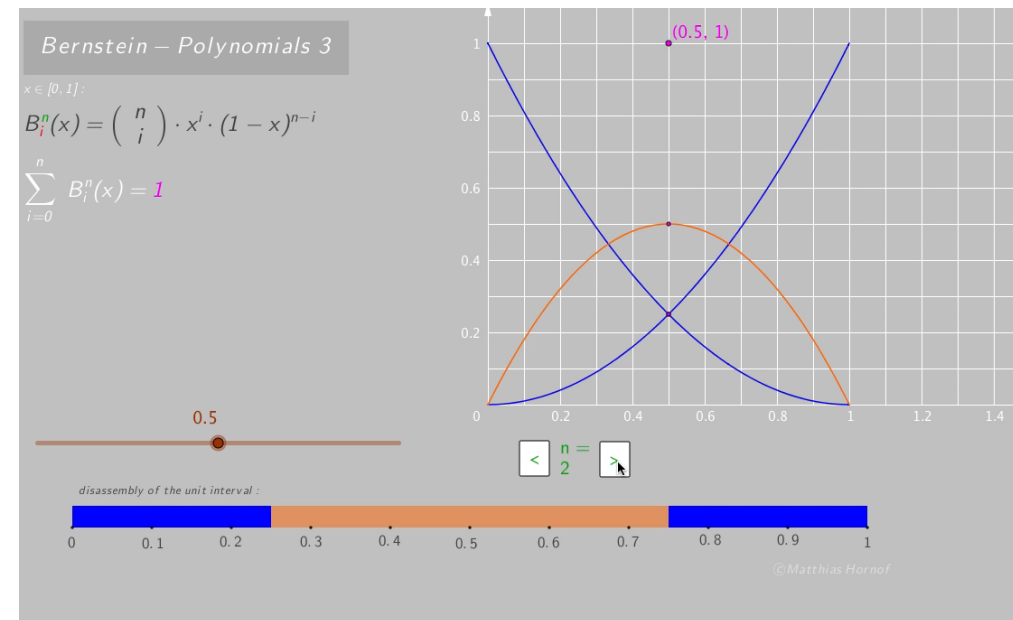
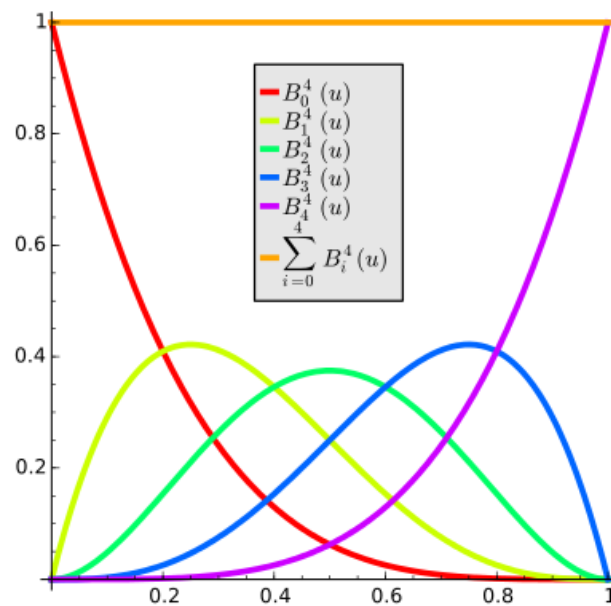
Bernstein de grado 1			
t	1-t	t	Suma
0	1	0	1
0,2	0,8	0,2	1
0,4	0,6	0,4	1
0,6	0,4	0,6	1
0,8	0,2	0,8	1
1	0	1	1

Bernstein de grado 2				
t	$(1-t)^2$	$2t(1-t)$	$t^2$	Suma
0	1	0	0	1
0,2	0,64	0,32	0,04	1
0,4	0,36	0,48	0,16	1
0,6	0,16	0,48	0,36	1
0,8	0,04	0,32	0,64	1
1	0	0	1	1

Bernstein de grado 3					
t	$(1-t)^3$	$3t(1-t)^2$	$3t^2(1-t)$	$t^3$	suma
0	1	0	0	0	1
0,2	0,512	0,384	0,096	0,008	1
0,4	0,216	0,432	0,288	0,064	1
0,6	0,064	0,288	0,432	0,216	1
0,8	0,008	0,096	0,384	0,512	1
1	0	0	0	1	1

# CURVAS DE BEZIER. POLINOMIOS DE BERNSTEIN. PROPIEDADES

La suma de todos los polinomios de Bernstein de un mismo grado para cualquier valor de  $t$  entre 0 y 1 es por definición 1





# CURVAS DE BEZIER. POLINOMIOS DE BERNSTEIN. PROPIEDADES

Además

Son linealmente independientes. Forma una base para los polinomios de grado  $n$

Son simétricos  $B_i^n(t) = B_{n-i}^n(1-t)$

Sus únicas raíces son  $0$  y  $1$

Son positivos en todo el intervalo  $(0, 1)$

Satisfacen la relación de recurrencia

$$B_i^n(t) = (1-t)B_i^{n-1}(t) + tB_{i-1}^{n-1}(t)$$

$$B_i^n(t) = 0 \text{ si } i < 0 \text{ o } i > n$$



# CURVAS DE BEZIER CON POLINOMIOS DE BERNSTEIN

Como la suma de los polinomios siempre es 1 y sus valores son positivos en el intervalo  $(1,0)$ , al evaluar cada polinomio de Bernstein para un valor de  $t$ , el resultado es un escalar, que se aplica como peso a cada punto de control

Es decir, se puede utiliza para ponderar la participación de los puntos de control

	Bernstein de grado 1		Bernstein de grado 2			Bernstein de grado 3			
t	1-t	t	(1-t) <sup>2</sup>	2t(1-t)	t <sup>2</sup>	(1-t) <sup>3</sup>	3t(1-t) <sup>2</sup>	3t <sup>2</sup> (1-t)	t <sup>3</sup>
0	100%	0%	100%	0%	0%	100%	0%	0%	0%
0,2	80%	20%	64%	32%	4%	51%	38%	10%	1%
0,4	60%	40%	36%	48%	16%	22%	43%	29%	6%
0,6	40%	60%	16%	48%	36%	6%	29%	43%	22%
0,8	20%	80%	4%	32%	64%	1%	10%	38%	51%
1	0%	100%	0%	0%	100%	0%	0%	0%	100%
	P <sub>0</sub>	P <sub>1</sub>	P <sub>0</sub>	P <sub>1</sub>	P <sub>2</sub>	P <sub>0</sub>	P <sub>1</sub>	P <sub>2</sub>	P <sub>3</sub>



# CURVAS DE BEZIER CON POLINOMIOS DE BERNSTEIN

$$b(t) = (x(t), y(t)) = \sum_{i=0}^n B_i^n(t) \cdot P_i$$

Donde los  $P_i$  son los puntos de control o vértices del polígono de Bézier

# CURVAS DE BEZIER CON POLINOMIOS DE BERNSTEIN. EJEMPLO

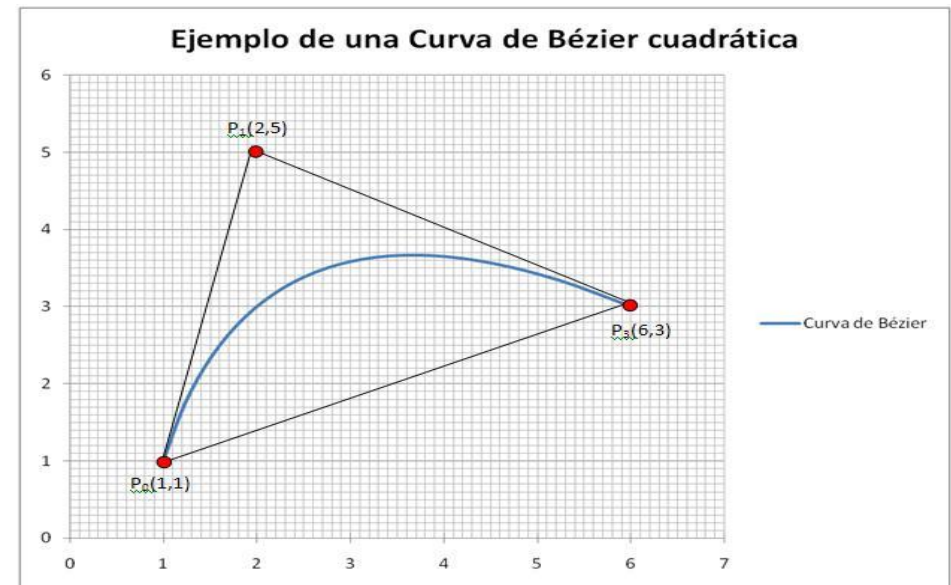
Para los puntos de control  $P_0=(1,1)$ ,  $P_1=(2,5)$  y  $P_2=(6,3)$

$$(x(t), y(t)) = \sum_{i=0}^2 B_i^2(t) P_i = B_0^2(t) P_0 + B_1^2(t) P_1 + B_2^2(t) P_2$$

$$(x(t), y(t)) = (1-t)^2 (1,1) + (2t-2t^2)(2,5) + t^2 (6,3)$$

$$x(t) = (3t^2 + 2t + 1)$$

$$y(t) = (-6t^2 + 8t + 1)$$





# CURVAS DE BEZIER. RECURSIVIDAD

Aprovechando la propiedad de recursividad que tenían los polinomios de Bernstein se puede deducir otra formulación para las curvas de Bezier llamada  
**Formulación de De Casteljau**

La curva de Bezier de grado  $n$  es  $b(t) = b_n^i(t)$

donde

$$b_0^i(t) = P_i$$

$$b_k^i(t) = (1-t)b_{k-1}^i(t) + tb_{k-1}^{i+1}(t)$$

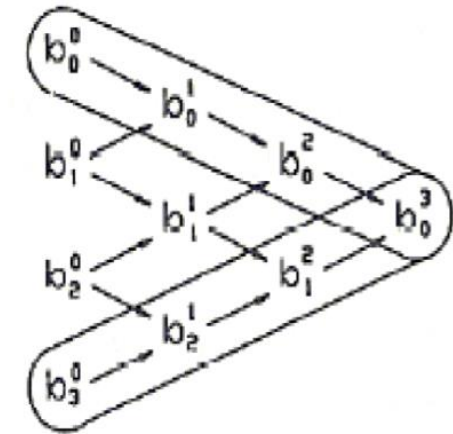


# CURVAS DE BEZIER. FORMULACIÓN DE DECASTELJAU

$$\begin{aligned}
 b_0^0(t) &= P_0 & \xrightarrow{(1-t)} & b_1^0(t) = (1-t)P_0 + tP_1 & \xrightarrow{(1-t)} & b_2^0(t) = \\
 b_0^1(t) &= P_1 & \xrightarrow{t} & b_1^1(t) = (1-t)P_1 + tP_2 & \xrightarrow{t} & (1-t)[(1-t)P_0 + tP_1] \\
 & & \xrightarrow{(1-t)} & & & + t[(1-t)P_1 + tP_2] \\
 b_0^2(t) &= P_2 & \xrightarrow{t} & & & 
 \end{aligned}$$

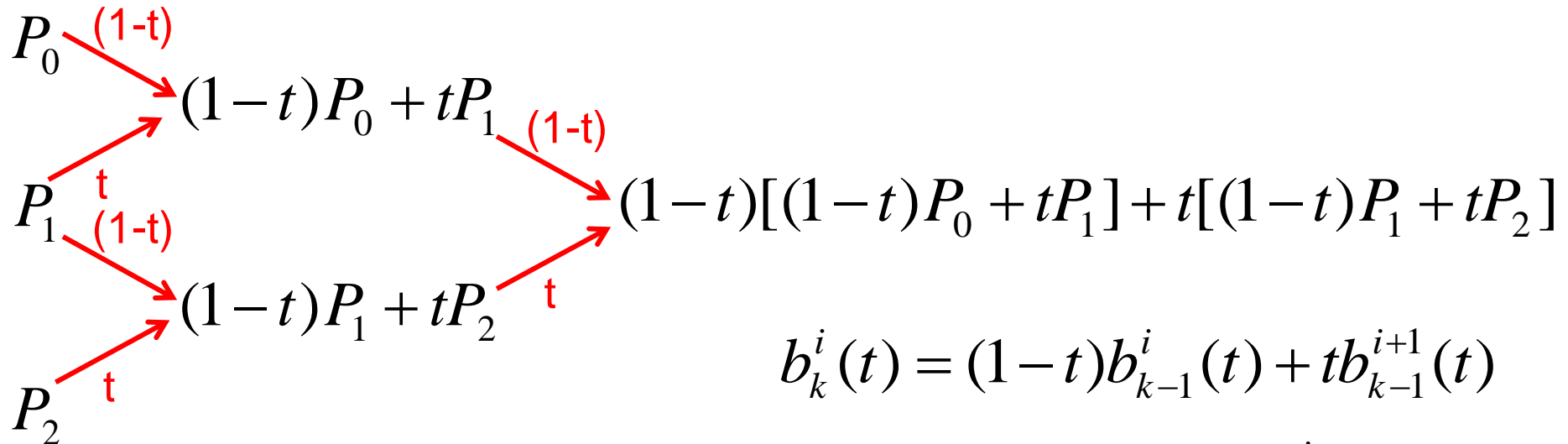
$$b_0^i(t) = P_i$$

$$b_k^i(t) = (1-t)b_{k-1}^i(t) + tb_{k-1}^{i+1}(t)$$





# CURVAS DE BEZIER. FORMULACIÓN DE CASTELJAU



$$b_0^i(t) = P_i$$

Primera columna: Puntos de control

Segunda columna: Curvas de Bézier lineales

Tercera columna: Curvas de Bézier cuadráticas

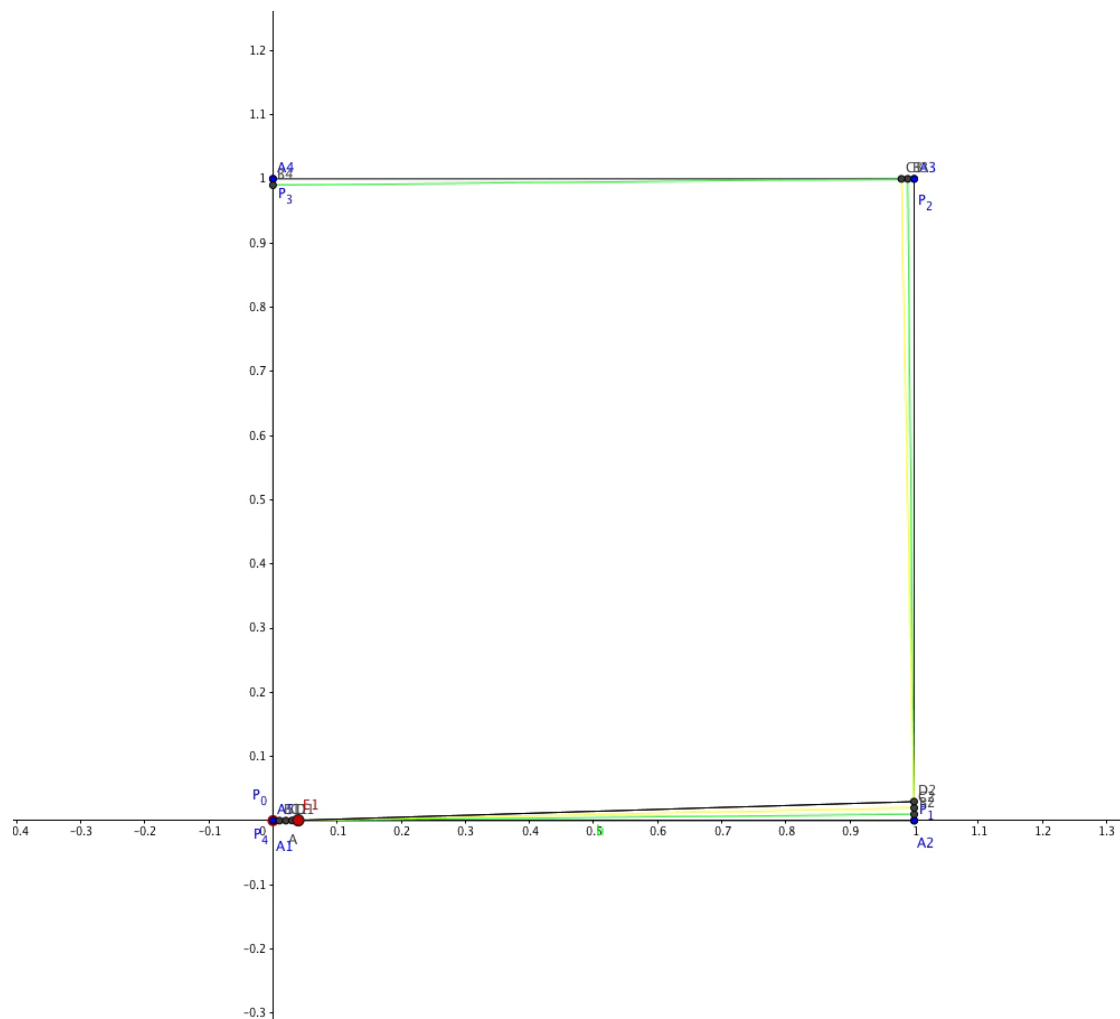
Cuarta columna: Curvas de Bézier cúbicas

Forma recursiva de construir las curvas





# CURVAS DE BEZIER. FORMULACIÓN DE DE CASTELJAU





# CURVAS DE BEZIER. FORMA MATRICIAL DE LAS CURVAS DE BEZIER CÚBICAS

Las curvas de Bézier cúbicas son las más utilizadas debido a su flexibilidad y grado no muy alto

Obtener estas curvas se reduce a realizar productos matriciales

$$b(t) = P_0(1 - t)^3 + P_1[3t(1 - t)^2] + P_2[3t^2(1 - t)] + P_3t^3$$

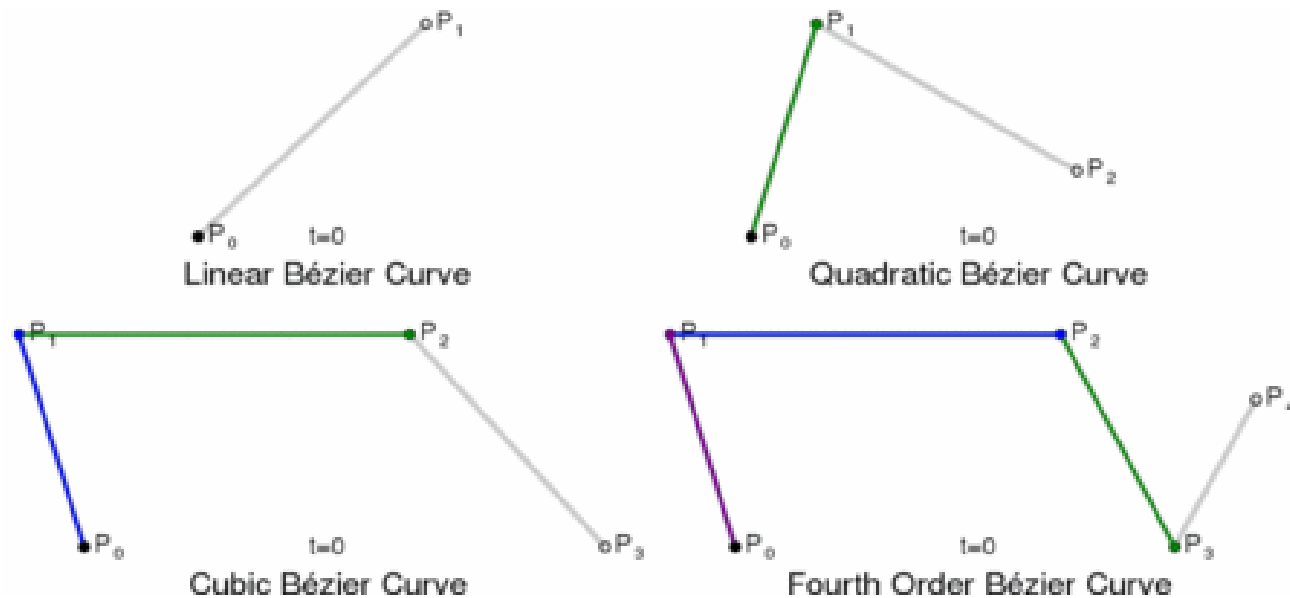
$$b(t) = [t^3 \quad t^2 \quad t \quad 1] \cdot \begin{bmatrix} -1 & 3 & -3 & 1 \\ 3 & -6 & 3 & 0 \\ -3 & 3 & 0 & 0 \\ 1 & 0 & 0 & 0 \end{bmatrix} \cdot \begin{bmatrix} P_0 \\ P_1 \\ P_2 \\ P_3 \end{bmatrix}$$



# CURVAS DE BEZIER. PROPIEDADES

$$b(t) = (x(t), y(t)) = \sum_{i=0}^n B_i^n(t) P_i$$

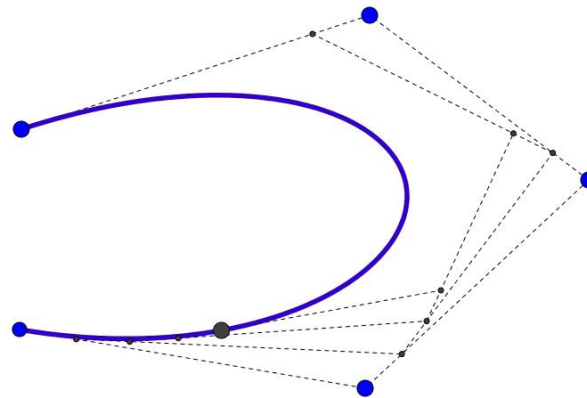
1. El grado de una curva de Bézier definida por  $n+1$  puntos de control es  $n$



# CURVAS DE BEZIER. PROPIEDADES

$$b(t) = (x(t), y(t)) = \sum_{i=0}^n B_i^n(t) P_i$$

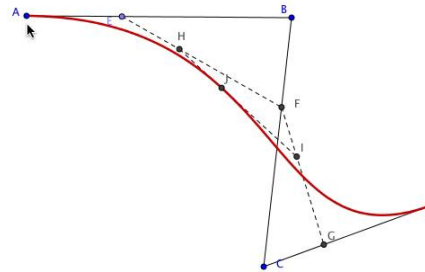
2. La curva de Bézier pasa por el primer y el último punto de control



# CURVAS DE BEZIER. PROPIEDADES

$$b(t) = (x(t), y(t)) = \sum_{i=0}^n B_i^n(t) P_i$$

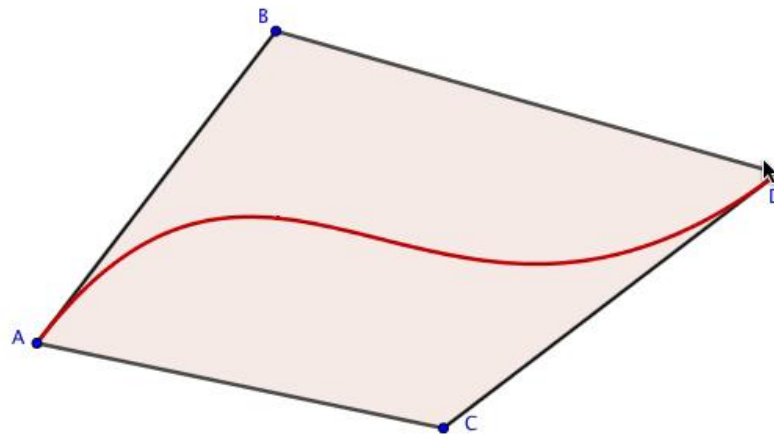
3. Las curvas de Bézier son tangentes al primer y último lado del polígono de Bezier



# CURVAS DE BEZIER. PROPIEDADES

$$b(t) = (x(t), y(t)) = \sum_{i=0}^n B_i^n(t) P_i$$

4. La curva no escapa de la envolvente convexa

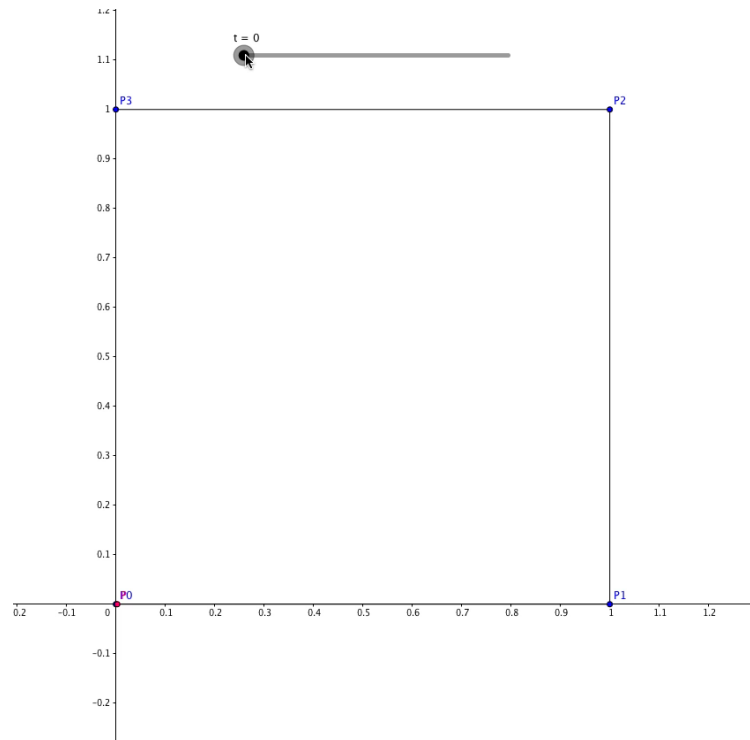




# CURVAS DE BEZIER. PROPIEDADES

$$b(t) = (x(t), y(t)) = \sum_{i=0}^n B_i^n(t) P_i$$

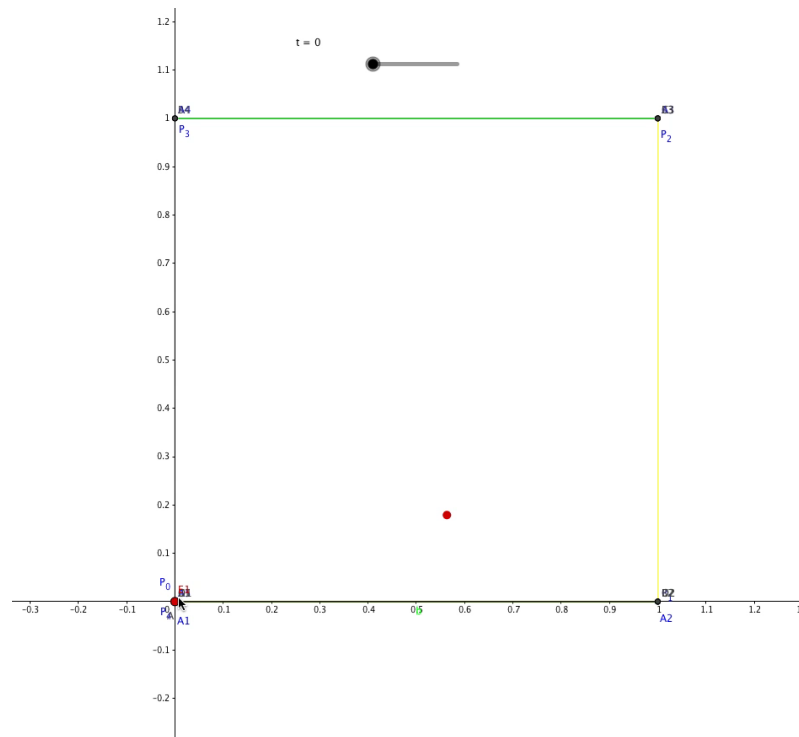
5. Si se mueven los puntos de control, la curva cambia



# CURVAS DE BEZIER. PROPIEDADES

$$b(t) = (x(t), y(t)) = \sum_{i=0}^n B_i^n(t) P_i$$

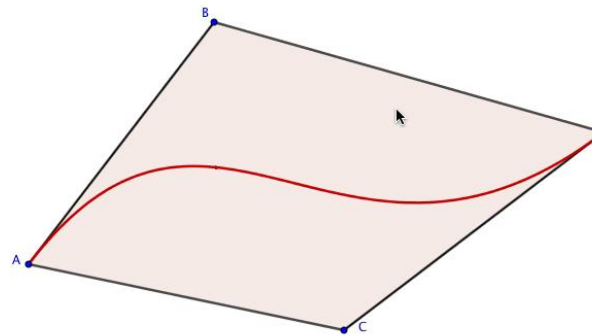
6. Múltiples puntos de control en una misma posición dan más peso a esa posición



# CURVAS DE BEZIER. PROPIEDADES

$$b(t) = (x(t), y(t)) = \sum_{i=0}^n B_i^n(t) P_i$$

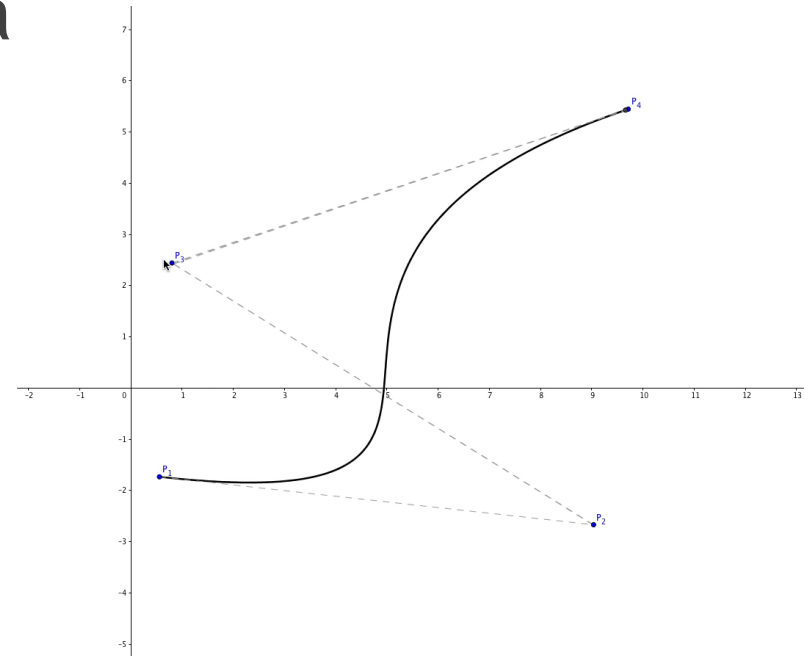
7. Las curvas cerradas se obtienen especificando el primer y el último punto de control en la misma posición



# CURVAS DE BEZIER. PROPIEDADES

$$b(t) = (x(t), y(t)) = \sum_{i=0}^n B_i^n(t) P_i$$

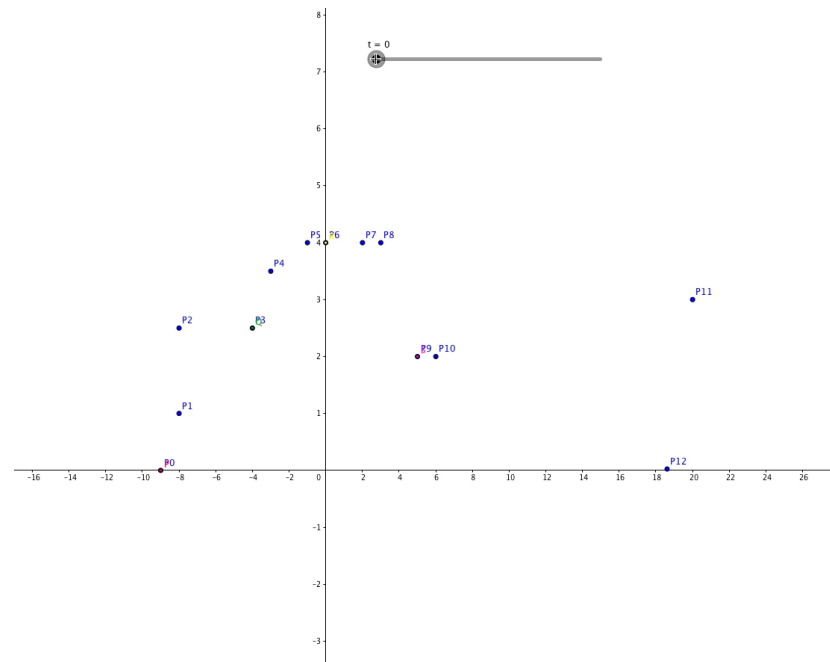
8. Tienen un control global, es decir el desplazamiento de un solo punto de control modifica a toda la curva



# CURVAS DE BEZIER. PROPIEDADES

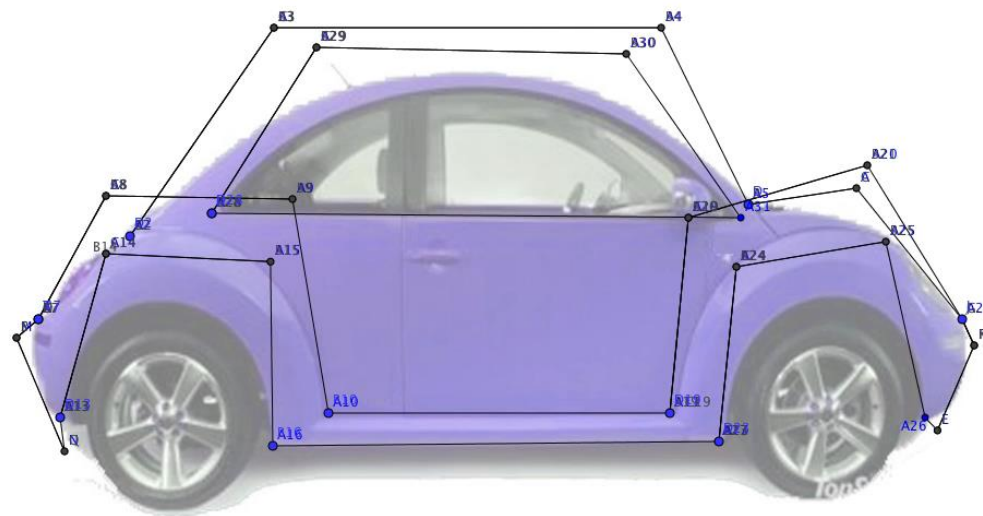
$$b(t) = (x(t), y(t)) = \sum_{i=0}^n B_i^n(t) P_i$$

9. Las curvas complicadas (muchos puntos de control) se generan con la concatenación de varias curvas de grado menor



# CURVAS DE BEZIER A TROZOS

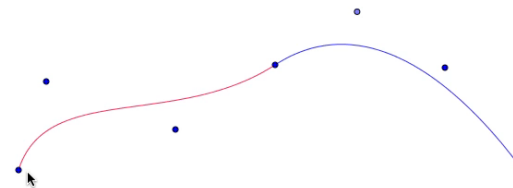
Es fundamental controlar las uniones de los trozos



# CURVAS DE BEZIER. PROPIEDADES

$$b(t) = (x(t), y(t)) = \sum_{i=0}^n B_i^n(t) P_i$$

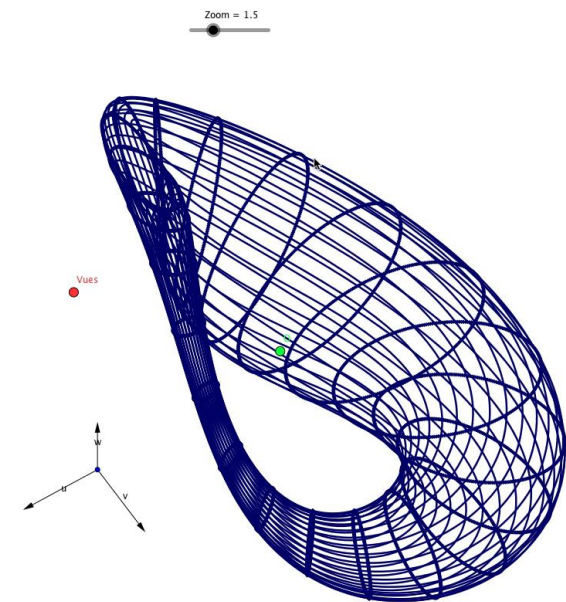
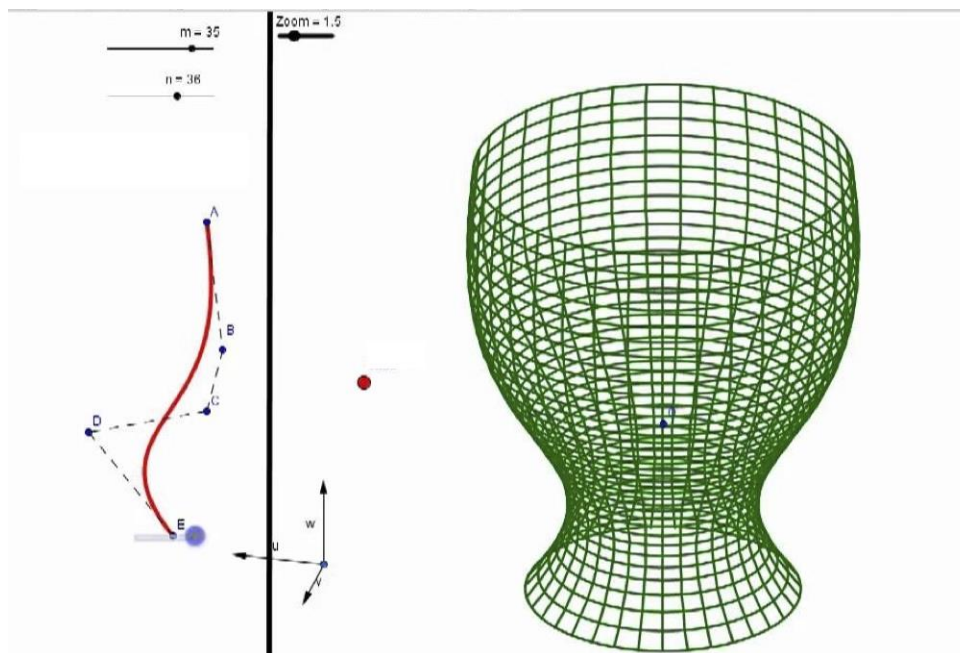
10. Las curvas de Bezier Cúbicas dan una flexibilidad razonable evitando el incremento de cálculo producido con polinomios de grado alto



# CURVAS DE BEZIER. PROPIEDADES

$$b(t) = (x(t), y(t)) = \sum_{i=0}^n B_i^n(t) P_i$$

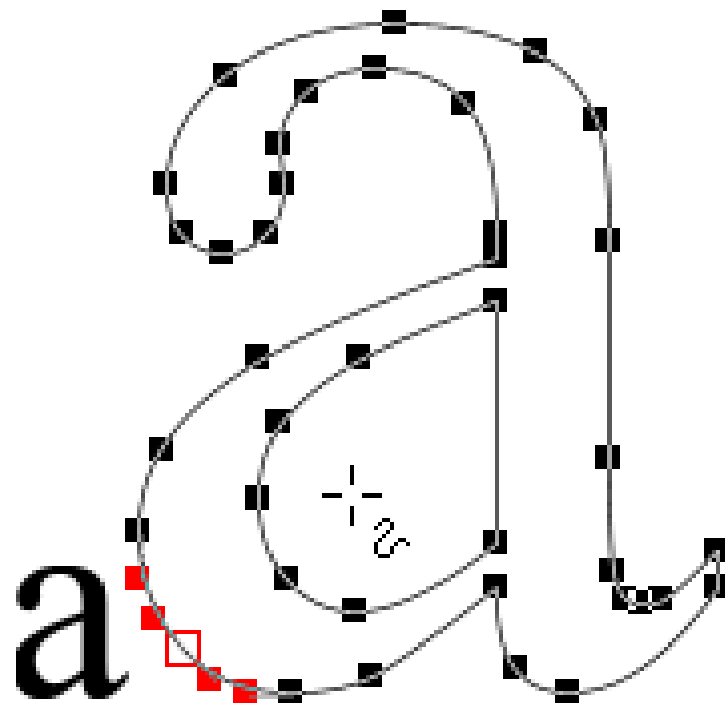
11. Se pueden crear superficies 3D a partir de curvas de Bezier



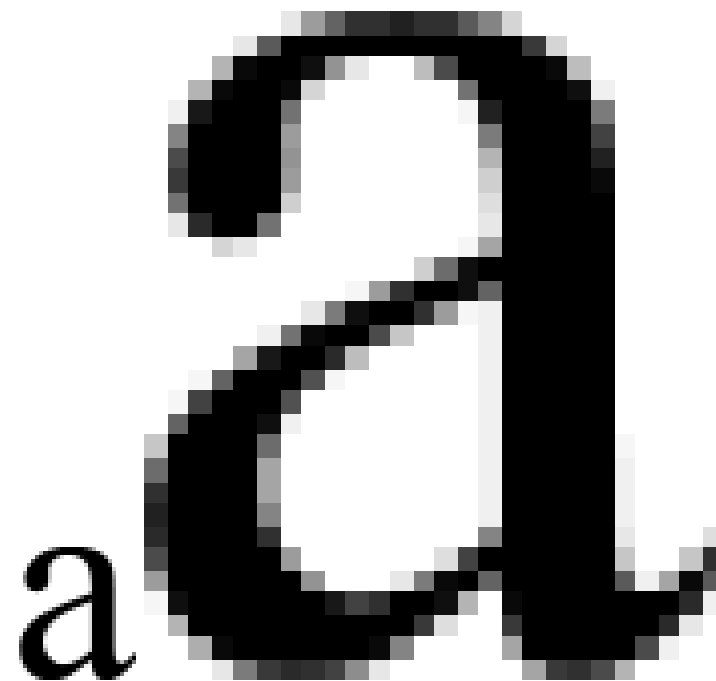




# CURVAS DE BEZIER. USOS



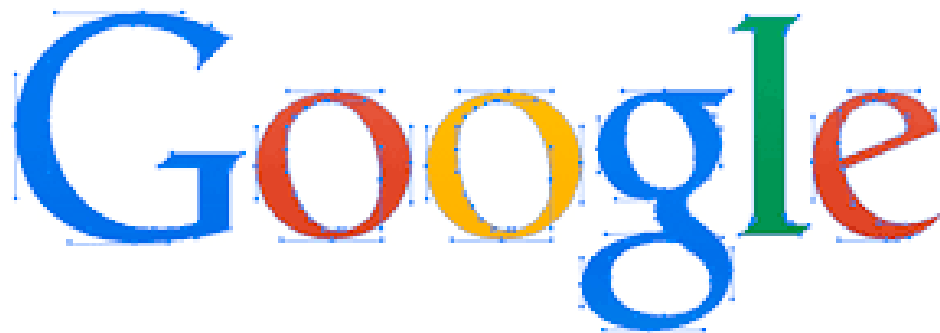
PostScript type



Bitmap type

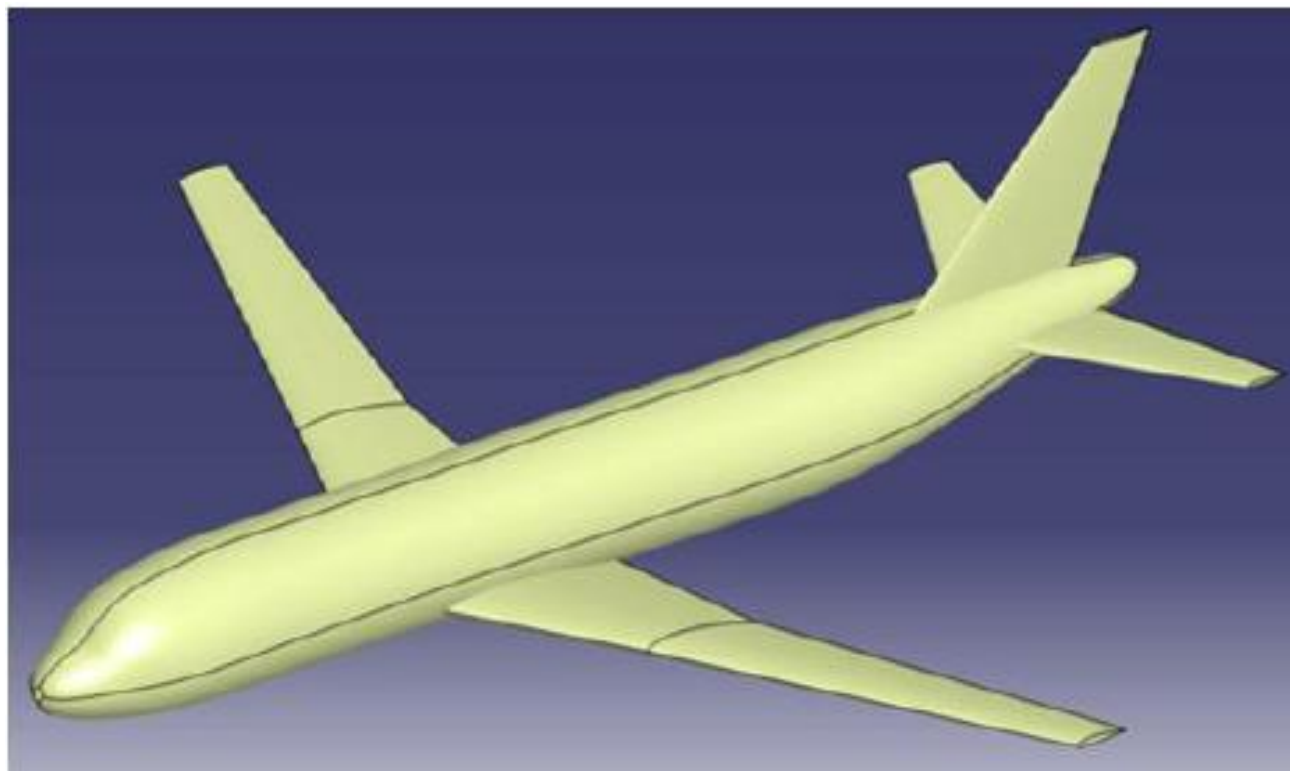


# CURVAS DE BEZIER. USOS





# CURVAS DE BEZIER. USOS



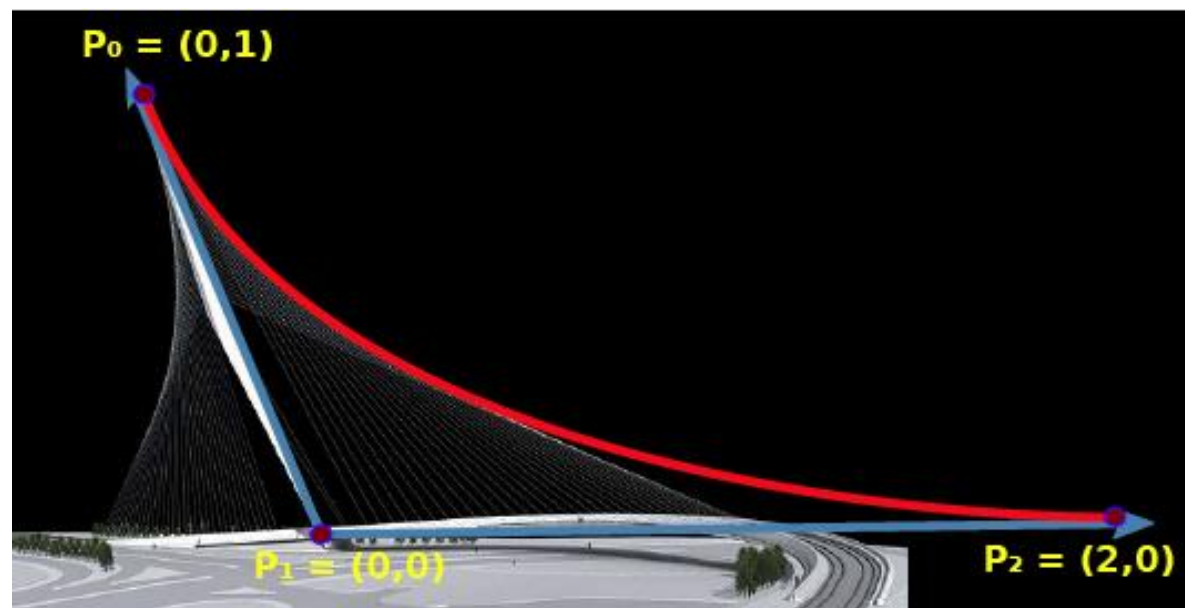


# CURVAS DE BEZIER. USOS



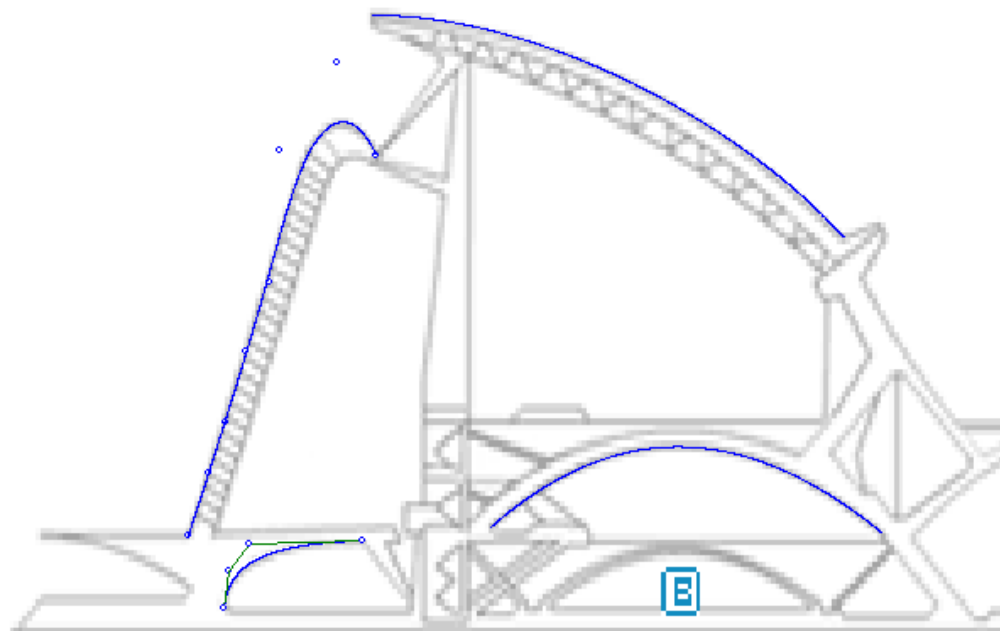


# CURVAS DE BEZIER. USOS





# CURVAS DE BEZIER. USOS





# SUPERFICIES DE BEZIER

Las superficies Bezier son una extensión directa de las curvas de Bezier

En este caso, la superficie está parametrizada por dos variables,  $s$  y  $t$  con valores en el intervalo  $[0, 1]$

$$f(s, t) = (x(s, t), y(s, t), z(s, t))$$

Es un tipo de superficie paramétrica que tienen una topología rectangular y que, a veces, se denominan parches

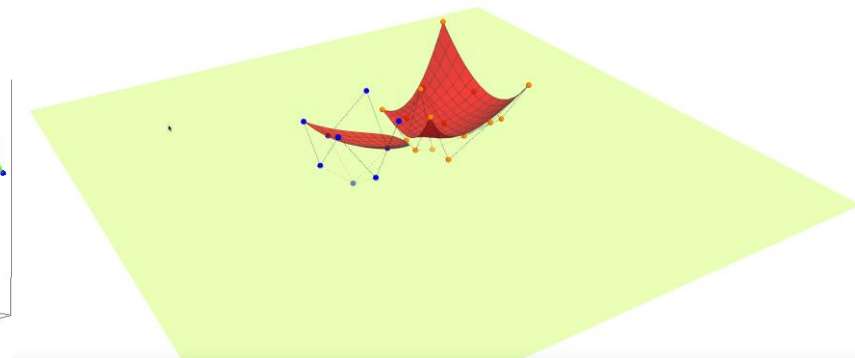
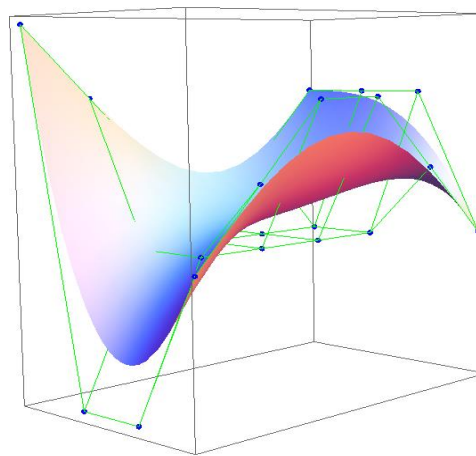
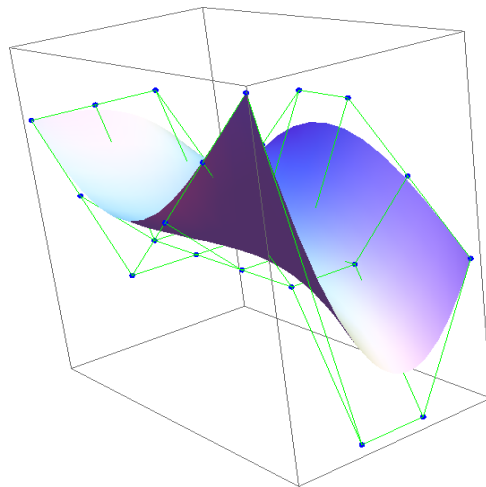


# SUPERFICIES DE BEZIER. DEFINICIÓN

Dado un conjunto finito de puntos de  $\mathbb{R}^3$  denominados puntos de control  $\{P_{i,j}\}_{(i,j)=0}^{(m,n)}$  se define la superficie de Bezier

$$b: [0,1] \times [0,1] \rightarrow \mathbb{R}^3$$

$$b(s, t) = \sum_{i=0}^m \sum_{j=0}^n B_i^m(s) B_j^n(t) P_{i,j}$$







# EJERCICIOS

1. Dadas los siguientes polígonos de control, calcular las curvas mediante polinomios de Bernstein:

- a)  $\{p_0 = (0,0), p_1 = (1,2), p_2 = (2,-1)\}$
- b)  $\{p_0 = (0,0), p_1 = (1,2), p_2 = (3,0), p_3 = (1,-1)\}$
- c)  $\{p_0 = (-1,0), p_1 = (1,-1), p_2 = (4,0), p_3 = (2,3)\}$
- d)  $\{p_0 = (0,0), p_1 = (1,2), p_2 = (2,3), p_3 = (4,1), p_4 = (3,-1)\}$

2. Usando los mismos ejemplos del ejercicio anterior, calcular mediante el algoritmo de Casteljau.

3. ¿Qué ventajas tiene el algoritmo de Casteljau?

4. Calcular las curvas mediante su forma matricial.



# EJERCICIOS

5. Dados los puntos  $\{p_0 = (1,0), p_1 = (1,2), p_2 = (3,-1)\}$ , obtener la curva de Bezier mediante aproximación de grado  $n$  que más se aproxime a dichos puntos.
6. Calcular el paraboloide hiperbólico que pasa por los siguientes puntos:  $\{p_{00} = (0,0,0), p_{01} = (0,1,1), p_{10} = (1,0,1), p_{11} = (1,1,0)\}$
7. Considerando la superficie de Bézier bicuadrada definida por los siguientes puntos de control, calcular la superficie de Bézier asociada con el algoritmo de Casteljou:
- $\{p_{00} = (0,0,0), p_{01} = (0,1,1), p_{02} = (0,2,0), p_{10} = (1,0,1), p_{11} = (1,1,0), p_{12} = (1,2,1)\}$
  - $\{p_{00} = (0,0,0), p_{01} = (0,1,0), p_{02} = (0,2,1), p_{10} = (1,0,0), p_{11} = (1,1,1), p_{12} = (1,2,1), p_{20} = (2,0,-1), p_{21} = (2,1,0), p_{22} = (2,2,0)\}$
8. Repetir el ejercicio anterior, pero usando los polinomios de Bernstein.

